

(12) 特許協力条約に基づいて公開された国際出願

(19) 世界知的所有権機関  
国際事務局

(43) 国際公開日  
2020年12月17日(17.12.2020)



(10) 国際公開番号  
**WO 2020/250312 A1**

- (51) 国際特許分類:  
G06N 20/00 (2019.01)
- (21) 国際出願番号: PCT/JP2019/023151
- (22) 国際出願日: 2019年6月11日(11.06.2019)
- (25) 国際出願の言語: 日本語
- (26) 国際公開の言語: 日本語
- (71) 出願人: 日本電信電話株式会社 (NIPPON TELEGRAPH AND TELEPHONE CORPORATION) [JP/JP]; 〒1008116 東京都千代田区大手町一丁目5番1号 Tokyo (JP).
- (72) 発明者: 大川 真耶(OKAWA, Maya); 〒1808585 東京都武蔵野市緑町三丁目9番11号 NTT 知的財産センタ内 Tokyo (JP). 戸

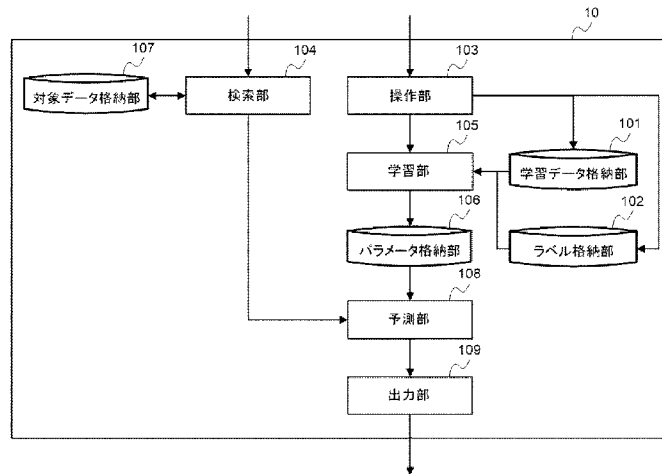
田 浩之(TODA, Hiroyuki); 〒1808585 東京都武蔵野市緑町三丁目9番11号 NTT 知的財産センタ内 Tokyo (JP).

(74) 代理人: 特許業務法人太陽国際特許事務所 (TAIYO, NAKAJIMA & KATO); 〒1600022 東京都新宿区新宿4丁目3番17号 Tokyo (JP).

(81) 指定国(表示のない限り、全ての種類の国内保護が可能): AE, AG, AL, AM, AO, AT, AU, AZ, BA, BB, BG, BH, BN, BR, BW, BY, BZ, CA, CH, CL, CN, CO, CR, CU, CZ, DE, DJ, DK, DM, DO, DZ, EC, EE, EG, ES, FI, GB, GD, GE, GH, GM, GT, HN, HR, HU, ID, IL, IN, IR, IS, JO, JP, KE, KG, KH, KN, KP, KR, KW, KZ, LA, LC, LK, LR, LS, LU, LY, MA, MD, ME, MG, MK, MN, MW, MX, MY, MZ,

(54) Title: ANOMALY DETECTION DEVICE, ANOMALY DETECTION METHOD, AND ANOMALY DETECTION PROGRAM

(54) 発明の名称: 異常検知装置、異常検知方法、及び異常検知プログラム



- 101 Learning data storage unit
- 102 Label storage unit
- 103 Operation unit
- 104 Search unit
- 105 Learning unit
- 106 Parameter storage unit
- 107 Object data storage unit
- 108 Prediction unit
- 109 Output unit

(57) Abstract: The present invention enables an anomaly of event data to be detected with good accuracy. A learning unit (105) learns a parameter of a model that outputs the level of anomaly of an object event series that is the object for which the level of anomaly is predicted when the object event series is inputted so as to optimize, on the basis of a plurality of event series that are event data in time series and a label that indicates anomaly or normal with respect to each event data in each of the plurality of event series, an objective function that represents a relationship between the occurrence probability



WO 2020/250312 A1

NA, NG, NI, NO, NZ, OM, PA, PE, PG, PH, PL, PT,  
QA, RO, RS, RU, RW, SA, SC, SD, SE, SG, SK, SL,  
SM, ST, SV, SY, TH, TJ, TM, TN, TR, TT, TZ, UA,  
UG, US, UZ, VC, VN, ZA, ZM, ZW.

(84) 指定国(表示のない限り、全ての種類の広域保  
護が可能): ARIPO (BW, GH, GM, KE, LR, LS,  
MW, MZ, NA, RW, SD, SL, ST, SZ, TZ, UG, ZM,  
ZW), ユーラシア (AM, AZ, BY, KG, KZ, RU, TJ,  
TM), ヨーロッパ (AL, AT, BE, BG, CH, CY, CZ,  
DE, DK, EE, ES, FI, FR, GB, GR, HR, HU, IE, IS, IT,  
LT, LU, LV, MC, MK, MT, NL, NO, PL, PT, RO, RS,  
SE, SI, SK, SM, TR), OAPI (BF, BJ, CF, CG, CI, CM,  
GA, GN, GQ, GW, KM, ML, MR, NE, SN, TD, TG).

添付公開書類 :

一 国際調査報告 (条約第21条(3))

---

of an event at each time of day in the time series and the level of anomaly of each of the plurality of event series.

(57) 要約 : 精度よくイベントデータの異常検知をすることができるようにする。学習部 (105) は、時系列のイベントデータである複数のイベント系列と、前記複数のイベント系列の各々の各イベントデータについての異常又は正常を示すラベルとに基づいて、前記時系列の各時刻におけるイベントの発生確率と前記複数のイベント系列の各々の異常度との関係を表す目的関数を最適化するように、異常度を予測する対象となるイベント系列である対象イベント系列を入力した場合に、前記対象イベント系列の異常度を出力するモデルのパラメータを学習する。

## 明 細 書

発明の名称：

異常検知装置、異常検知方法、及び異常検知プログラム

### 技術分野

[0001] 本開示は、異常検知装置、異常検知方法、及び異常検知プログラムに関する。

### 背景技術

[0002] 従来から、イベントデータの異常度を判定する異常検知は、多くのドメインで必要不可欠な技術である。例えば、金融取引の系列データの異常が検知できれば、不正取引を自動で特定することができる。タクシーの乗降履歴の系列の異常が検知できれば、混雑が起きている場所を特定し迅速に事前措置を取ることができる。イベントデータは、ある事象の発生時刻・発生場所の系列からなるデータで、一般的に点過程を用いてモデル化される（非特許文献1）。

[0003] イベントデータの異常を検知するモデルは過去にいくつか提案されているが、異常であることを示す正解データが与えられていない場合を想定しているものが多い。一方、異常又は正常を示す正解ラベルが事前に与えられている場合については、例えば、離散化された特徴量に基づいて教師ありで交通需要の異常予測を行う技術が提案されている（非特許文献2）。

### 先行技術文献

#### 非特許文献

[0004] 非特許文献1：Ihler, Alexander, Jon Hutchins, and Padhraic Smyth. "Adaptive event detection with time-varying poisson processes". Proceedings of the 12th ACM SIGKDD international conference on Knowledge discovery and data mining. ACM, 2006.

非特許文献2：A. Vahedian, X. Zhou, L. Tong, W. N. Street, and Y. Li., "Predicting urban dispersal events: A two-stage framework through de

ep survival analysis on mobility data”, AAAI Conference on Artificial Intelligence, IEEE, 2018.

## 発明の概要

### 発明が解決しようとする課題

[0005] イベントデータの異常検知は、様々なドメインで大きな価値を持つ。しかし、既存の教師あり異常検知手法では、イベントデータを考慮することができない。例えば、非特許文献2の手法は、集計された特徴量を扱うものであるため、イベントデータに対して適用することができない。このため、精度よくイベントデータの異常検知をすることができない、という問題があった。

[0006] 開示の技術は、上記の点に鑑みてなされたものであり、精度よくイベントデータの異常検知をすることができる異常検知装置、異常検知方法、及び異常検知プログラムを提供することを目的とする。

### 課題を解決するための手段

[0007] 本開示の第1態様は、異常検知装置であって、時系列のイベントデータである複数のイベント系列と、前記複数のイベント系列の各々の各イベントデータについての異常又は正常を示すラベルとに基づいて、前記時系列の各時刻におけるイベントの発生確率と前記複数のイベント系列の各々の異常度との関係を表す目的関数を最適化するように、異常度を予測する対象となるイベント系列である対象イベント系列を入力した場合に、前記対象イベント系列の異常度を出力するモデルのパラメータを学習する学習部を含む。

[0008] 本開示の第2態様は、異常検知方法であって、学習部が、時系列のイベントデータである複数のイベント系列と、前記複数のイベント系列の各々の各イベントデータについての異常又は正常を示すラベルとに基づいて、前記時系列の各時刻におけるイベントの発生確率と前記複数のイベント系列の各々の異常度との関係を表す目的関数を最適化するように、異常度を予測する対象となるイベント系列である対象イベント系列を入力した場合に、前記対象イベント系列の異常度を出力するモデルのパラメータを学習する。

[0009] 本開示の第3態様は、異常検知プログラムであって、学習部が、時系列のイベントデータである複数のイベント系列と、前記複数のイベント系列の各々の各イベントデータについての異常又は正常を示すラベルとに基づいて、前記時系列の各時刻におけるイベントの発生確率と前記複数のイベント系列の各々の異常度との関係を表す目的関数を最適化するように、異常度を予測する対象となるイベント系列である対象イベント系列を入力した場合に、前記対象イベント系列の異常度を出力するモデルのパラメータを学習することをコンピュータに実行させるための異常検知プログラムである。

### 発明の効果

[0010] 開示の技術によれば、精度よくイベントデータの異常検知をすることができる。

### 図面の簡単な説明

[0011] [図1]実施形態に係る異常検知装置として機能するコンピュータの概略構成を示すブロック図である。

[図2]実施形態に係る異常検知装置の機能構成の例を示すブロック図である。

[図3]検索履歴の一例を示す図である。

[図4]異常ラベルの一例を示す図である。

[図5]実施形態に係る異常検知装置の異常検知処理ルーチンを示すフローチャートである。

### 発明を実施するための形態

[0012] 以下、開示の技術の実施形態の例を、図面を参照しつつ説明する。なお、各図面において同一又は等価な構成要素及び部分には同一の参照符号を付与している。また、図面の寸法比率は、説明の都合上誇張されており、実際の比率とは異なる場合がある。

[0013] <本開示の技術の実施形態に係る異常検知装置の構成>

図1は、本実施形態に係る異常検知装置10のハードウェア構成を示すブロック図である。図1に示すように、異常検知装置10は、CPU (Central Processing Unit) 11、ROM (Read O

nly Memory) 12、RAM (Random Access Memory) 13、ストレージ14、入力部15、表示部16及び通信インタフェース (I/F) 17を有する。各構成は、バス19を介して相互に通信可能に接続されている。

[0014] CPU 11は、中央演算処理ユニットであり、各種プログラムを実行したり、各部を制御したりする。すなわち、CPU 11は、ROM 12又はストレージ14からプログラムを読み出し、RAM 13を作業領域としてプログラムを実行する。CPU 11は、ROM 12又はストレージ14に記憶されているプログラムに従って、上記各構成の制御及び各種の演算処理を行う。本実施形態では、ROM 12又はストレージ14には、異常検知処理を実行するための異常検知プログラムが記憶されている。

[0015] ROM 12は、各種プログラム及び各種データを記憶する。RAM 13は、作業領域として一時的にプログラム又はデータを記憶する。ストレージ14は、HDD (Hard Disk Drive) 又はSSD (Solid State Drive) により構成され、オペレーティングシステムを含む各種プログラム、及び各種データを記憶する。

[0016] 入力部15は、マウス等のポインティングデバイス、及びキーボードを含み、各種の入力を行うために使用される。

[0017] 表示部16は、例えば、液晶ディスプレイであり、各種の情報を表示する。表示部16は、タッチパネル方式を採用して、入力部15として機能しても良い。

[0018] 通信インタフェース17は、他の機器と通信するためのインタフェースであり、例えば、イーサネット (登録商標)、FDDI、Wi-Fi (登録商標) 等の規格が用いられる。

[0019] 次に、異常検知装置10の機能構成について説明する。図2は、異常検知装置10の機能構成の例を示すブロック図である。

[0020] 図2に示すように、異常検知装置10は、機能構成として、学習データ格納部101と、ラベル格納部102と、操作部103と、検索部104と、

学習部105と、パラメータ格納部106と、対象データ格納部107と、予測部108と、出力部109と、を有する。各機能構成は、CPU11がROM12又はストレージ14に記憶された異常検知プログラムを読み出し、RAM13に展開して実行することにより実現される。

[0021] 学習データ格納部101には、時系列のイベントデータであるイベント系列が複数格納されている。具体的には、学習データ格納部101は、学習部105からの要求に従って、イベント系列を読み出し、読み出したイベント系列を学習部105に渡す。イベントデータはある事象（イベント）の発生時刻及び発生場所の系列からなるデータであり、例えば金融市場における取引の記録、タクシーの乗降履歴、E-commerceサイトにおける購買履歴、犯罪の履歴等である。より具体的には、イベントデータは、例えば、ルート検索アプリの検索ログであり、あるエリア（駅等） $l_i$ 、ある日にち $d_i$ 、ある時間 $h_i$ 、を対象とする検索が行われた時刻 $x_j$ におけるイベント系列 $x = \{x_1, x_2, \dots\}$ で定義される。なお、“イベント系列 $x$ ”の“ $x$ ”は、数式中は太字の $x$ で表す。本開示では、時刻 $T$ までに観測された $n$ 個のイベント系列 $x$ からなるデータセット $X = \{x_i\}_{i=1}^n$ が与えられた場合を考える。各イベント系列 $x_i$ の長さを $n_i$ とおく。

[0022] 図3に、イベントデータの例として、検索ログ（履歴）をイベントデータとした場合を示す。図3に示すように、検索対象のエリア、検索対象の日にち、検索対象の時間に紐づいて、検索ログが、学習データ格納部101に格納されている。図3中の検索ログは、例えば、検索対象のエリア $l_i$ を“A駅”、検索対象の日にち $d_i$ を“2018/1/2”、検索対象の時間 $h_i$ を“10:00”を対象とする検索が行われた時刻 $x_j$ （1, 3, 12等）が時系列に格納されている。

[0023] ラベル格納部102には、複数のイベント系列の各々の各イベントデータについての異常又は正常を示すラベルが格納されている。具体的には、ラベル格納部102は、学習部105からの要求に従って、異常又は正常を示すラベルを読み出し、読み出したラベルを学習部105に渡す。異常又は正常

を示すラベルは、例えば金融取引であれば「不正取引が行われていたかどうか」、「株価の乱高下が発生していたかどうか」、タクシーの乗降履歴なら「乗降時に混雑が起きていたかどうか」等、手動又は自動で取得されたものである。本開示では、 $n$ 個のイベント系列 $x$ からなるデータセット $X$ と共に、エリア $l_i$ 、日にち $d_i$ 、時間帯 $h_i$ の各々に対応するラベル $Y = \{y_i\}_{n_i}$ が与えられているものとする。ここで $y_i$ は、例えばエリア $l_i$ 、日にち $d_i$ 、時間帯 $h_i$ において混雑が起きているか否かを表す二値データ $y_i \in [0, 1]$ である。

[0024] 図4に、イベントデータが上記の検索ログである場合の、ラベルの例を示す。図4中の異常の項目が、ラベルである。図4の例において、ラベルは、異常である（混雑が発生した）場合、1（混雑あり）となり、正常である（混雑が発生していない）場合、0（混雑なし）となる。

[0025] なお、学習データ格納部101及びラベル格納部102は、Webサーバや、データベースを具備するデータベースサーバ等として構成することもできる。

[0026] 操作部103は、学習データ格納部101及びラベル格納部102に格納されているデータに対する各種操作を受け付ける。各種操作とは、データを登録、修正、削除する操作等である。

[0027] 検索部104は、対象イベント系列 $x'_i$ の入力を受け付ける。具体的には、検索部104は、まず、異常度の予測の対象となるイベント系列についての、時刻及び場所の情報を受け付ける。次に、検索部104は、受け付けた時刻及び場所に紐づく各イベントデータを、対象データ格納部107から取得し、対象イベント系列 $x'_i$ とする。そして、検索部104は、対象イベント系列 $x'_i$ を、予測部108に渡す。

[0028] 学習部105は、複数のイベント系列 $x$ と、複数のイベント系列 $x$ の各々の各イベントデータについての異常又は正常を示すラベル $y$ とに基づいて、時系列の各時刻におけるイベントの発生確率と複数のイベント系列 $x$ の各々の異常度との関係を表す目的関数 $L$ を最適化するように、異常度を予測する



対象となるイベント系列である対象イベント系列  $x'$  を入力した場合に、対象イベント系列  $x'$  の異常度  $s'$  を出力するモデルのパラメータを学習する。

[0029] 具体的には、学習部 105 は、まず、学習データ格納部 101 からデータセット  $X$  を、ラベル格納部 102 からラベル  $Y$  を取得する。次に、学習部 105 は、取得したデータセット  $X$  及びラベル  $Y$  に基づいて、イベント系列  $x$  と当該イベント系列  $x$  の異常度  $s$  との関係を示すモデルのパラメータを学習する。

[0030] ここで、学習部 105 におけるパラメータの学習手順を説明する。学習部 105 では、過去のイベントをトリガーとして起こるイベントを、点過程を用いてモデル化する。一般的な点過程モデルの手続きに従い、まず強度関数の設計を行う。強度関数は、単位時間あたりにイベントが発生する確率である発生確率を表す関数である。以下にその一例を示す。

[0031] まず、イベント系列をモデル化するため、点過程の強度関数  $\lambda(x|\theta)$  を導入する。ここで、強度関数  $\lambda(x|\theta)$  は時刻  $x$  におけるイベント（検索行動）の発生確率、 $\theta$  は強度関数のパラメータである。強度関数  $\lambda(x|\theta)$  が与えられた下で、 $i$  番目のイベント系列  $x_i = \{x_{i1}, \dots, x_{in_i}\}$  に対する点過程の尤度  $Z_i$  は、下記式 (1) で表すことができる。

[0032] [数1]

$$Z_i \equiv \log p(x_i | \lambda(x; \theta)) = \sum_{j=1}^{n_i} \lambda(x_j; \theta) - \int_0^T \lambda(x; \theta) dx \quad \dots (1)$$

[0033] 一般的な点過程の枠組みでは、各イベント系列に対する尤度  $Z_i$  の和  $\sum_{i=1}^n Z_i$  を最大化する  $\theta$  を求める。本開示では、当該尤度  $Z_i$  の和を最大化する目的関数を下記式 (2) で表す。

[0034] [数2]

$$\mathcal{L} = \sum_{i=1}^n D(y_i | f(Z_i; \beta)) \quad \dots (2)$$

- [0035] ここで、 $D(A|B)$  は  $A$  と  $B$  の乖離度を表す規準であり、例えば二乗誤差等を用いることができる。また、 $f(\cdot)$  は線形回帰モデル、 $\beta$  は線形回帰モデルのパラメータである。学習部 105 は、上記式 (2) を最大化するように、パラメータ  $\theta$  及び  $\beta$  を学習する。当該最適化にはどのような方法を用いても良い。例えば、上記式 (2) の目的関数を、勾配法を用いて最適化することができる。そして、学習部 105 は、学習したパラメータ  $\hat{\theta}$  (数式中は、 $\theta$  の上に “ $\hat{\cdot}$ ” とする) 及び  $\hat{\beta}$  を、パラメータ格納部 106 に格納する。
- [0036] パラメータ格納部 106 には、学習部 105 により学習されたパラメータ  $\hat{\theta}$  及び  $\hat{\beta}$  の組を格納する。パラメータ格納部 106 は、推定したパラメータの組が保存され、復元可能なものであれば、なんでも良い。例えば、データベースや、予め備えられた汎用的な記憶装置 (メモリやハードディスク装置) の特定領域に記憶される。
- [0037] 対象データ格納部 107 には、異常度を予測する対象となるイベント系列  $x'$  が格納されている。イベントデータは、学習データ格納部 101 に格納されているイベントデータと同様、時刻  $x'_i$  のイベント系列  $x' = \{x'_1, x'_2, \dots\}$  で定義される。本開示では、時刻  $T$  までに観測された  $n'$  個のイベント系列  $x'$  からなるデータセット  $X' = \{x'_i\}_{i=1}^{n'}$  が与えられているものとする。また、各イベント系列  $x'_i$  の長さを  $n'_i$  とおく。
- [0038] 予測部 108 は、対象イベント系列  $x'_i$  と、モデルと、学習部 105 により学習されたパラメータ  $\hat{\theta}$  とに基づいて、対象イベント系列  $x'_i$  の異常度を算出する。
- [0039] 具体的には、予測部 108 は、まず、パラメータ格納部 106 から学習済みパラメータ  $\hat{\theta}$  を取得する。次に、予測部 108 は、 $n'_i$  個のイベントからなる新しいイベント系列  $\{x'_1, x'_2, \dots\}$  とパラメータの推定値  $\hat{\theta}$  とに基づいて、対象イベント系列  $x'$  の異常度  $s'$  を、下記式 (3) 及び (4) を用いて算出する。

[0040]

[数3]

$$Z' = \sum_{i=1}^{n'} \lambda(x'_i; \theta) - \int_0^T \lambda(x; \theta) dx \quad \dots (3)$$

$$s' = f(Z') \quad \dots (4)$$

[0041] そして、予測部108は、算出した異常度  $s'$  を、出力部109に渡す。

[0042] 出力部109は、予測部108により算出された異常度  $s'$  を、予測結果として出力する。

[0043] <本開示の技術の実施形態に係る異常検知装置の作用>

次に、異常検知装置10の作用について説明する。

図5は、異常検知装置10による異常検知処理ルーチンの流れを示すフローチャートである。CPU11がROM12又はストレージ14から異常検知プログラムを読み出して、RAM13に展開して実行することにより、異常検知処理ルーチンが行なわれる。

[0044] ステップS101において、CPU11は、学習部105として、学習データ格納部101からデータセットXを、ラベル格納部102からラベルYを取得する。

[0045] ステップS102において、CPU11は、学習部105として、上記ステップS101により取得したデータセットX及びラベルYに基づいて、イベント系列xと当該イベント系列xの異常度sとの関係を示すモデルのパラメータを学習する。

[0046] ステップS103において、CPU11は、学習部105として、上記ステップS102により学習したパラメータ $\hat{\theta}$ 及び $\hat{\beta}$ を、パラメータ格納部106に格納する。

[0047] ステップS104において、CPU11は、検索部104として、対象イベント系列 $x'_i$ の入力を受け付ける。

[0048] ステップS105において、CPU11は、予測部108として、パラメータ格納部106から学習済みのパラメータ $\hat{\theta}$ を取得する。

- [0049] ステップS106において、CPU11は、予測部108として、対象イベント系列 $x'_i$ と、モデルと、上記ステップS105により取得したパラメータ $\theta^*$ とに基づいて、対象イベント系列 $x'_i$ の異常度を算出する。
- [0050] ステップS107において、CPU11は、出力部109として、上記ステップS106により算出された異常度 $s'_i$ を、予測結果として出力する。
- [0051] 以上説明したように、本開示の実施形態に係る異常検知装置によれば、時系列のイベントデータである複数のイベント系列と、複数のイベント系列の各々の各イベントデータについての異常又は正常を示すラベルとに基づいて、時系列の各時刻におけるイベントの発生確率と複数のイベント系列の各々の異常度との関係を表す目的関数を最適化するように、異常度を予測する対象となるイベント系列である対象イベント系列を入力した場合に、対象イベント系列の異常度を出力するモデルのパラメータを学習するため、精度よくイベントデータの異常検知をすることができる。
- [0052] なお、本開示は、上述した実施形態に限定されるものではなく、この発明の要旨を逸脱しない範囲内で様々な変形や応用が可能である。
- [0053] 上記実施形態では、学習部及び予測部を含む各機能構成が1つのコンピュータで実現される場合について説明したが、学習部と予測部とは、それぞれ別のコンピュータで実現してもよい。この場合、学習部を含むコンピュータで学習されたパラメータをパラメータ格納部に格納しておき、予測部を含むコンピュータからパラメータ格納部に格納されたパラメータを読み出して、異常検知処理を実行すればよい。
- [0054] なお、上記実施形態でCPUがソフトウェア（プログラム）を読み込んで実行した異常検知プログラムを、CPU以外の各種のプロセッサが実行してもよい。この場合のプロセッサとしては、FPGA（Field-Programmable Gate Array）等の製造後に回路構成を変更可能なPLD（Programmable Logic Device）、及びASIC（Application Specific Integrated Circuit）等の特定の処理を実行させるために専用に設計さ

れた回路構成を有するプロセッサである専用電気回路等が例示される。また、異常検知プログラムを、これらの各種のプロセッサのうちの1つで実行してもよいし、同種又は異種の2つ以上のプロセッサの組み合わせ（例えば、複数のFPGA、及びCPUとFPGAとの組み合わせ等）で実行してもよい。また、これらの各種のプロセッサのハードウェア的な構造は、より具体的には、半導体素子等の回路素子を組み合わせた電気回路である。

[0055] また、上記各実施形態では、異常検知プログラムがROM12又はストレージ14に予め記憶（インストール）されている態様を説明したが、これに限定されない。プログラムは、CD-ROM (Compact Disk Read Only Memory)、DVD-ROM (Digital Versatile Disk Read Only Memory)、及びUSB (Universal Serial Bus) メモリ等の非一時的 (non-transitory) 記憶媒体に記憶された形態で提供されてもよい。また、プログラムは、ネットワークを介して外部装置からダウンロードされる形態としてもよい。

[0056] 以上の実施形態に関し、更に以下の付記を開示する。

(付記項1)

メモリと、

前記メモリに接続された少なくとも1つのプロセッサと、

を含み、

前記プロセッサは、

時系列のイベントデータである複数のイベント系列と、前記複数のイベント系列の各々の各イベントデータについての異常又は正常を示すラベルとに基づいて、前記時系列の各時刻におけるイベントの発生確率と前記複数のイベント系列の各々の異常度との関係を表す目的関数を最適化するように、異常度を予測する対象となるイベント系列である対象イベント系列を入力した場合に、前記対象イベント系列の異常度を出力するモデルのパラメータを学習する

ように構成されている異常検知装置。

[0057] (付記項 2)

時系列のイベントデータである複数のイベント系列と、前記複数のイベント系列の各々の各イベントデータについての異常又は正常を示すラベルとに基づいて、前記時系列の各時刻におけるイベントの発生確率と前記複数のイベント系列の各々の異常度との関係を表す目的関数を最適化するように、異常度を予測する対象となるイベント系列である対象イベント系列を入力した場合に、前記対象イベント系列の異常度を出力するモデルのパラメータを学習する

ことをコンピュータに実行させる異常検知プログラムを記憶した非一時的記憶媒体。

### 符号の説明

- [0058] 1 0 異常検知装置
- 1 1 CPU
- 1 2 ROM
- 1 3 RAM
- 1 4 ストレージ
- 1 5 入力部
- 1 6 表示部
- 1 7 通信インタフェース
- 1 9 バス
- 1 0 1 学習データ格納部
- 1 0 2 ラベル格納部
- 1 0 3 操作部
- 1 0 4 検索部
- 1 0 5 学習部
- 1 0 6 パラメータ格納部
- 1 0 7 対象データ格納部

108 予測部

109 出力部

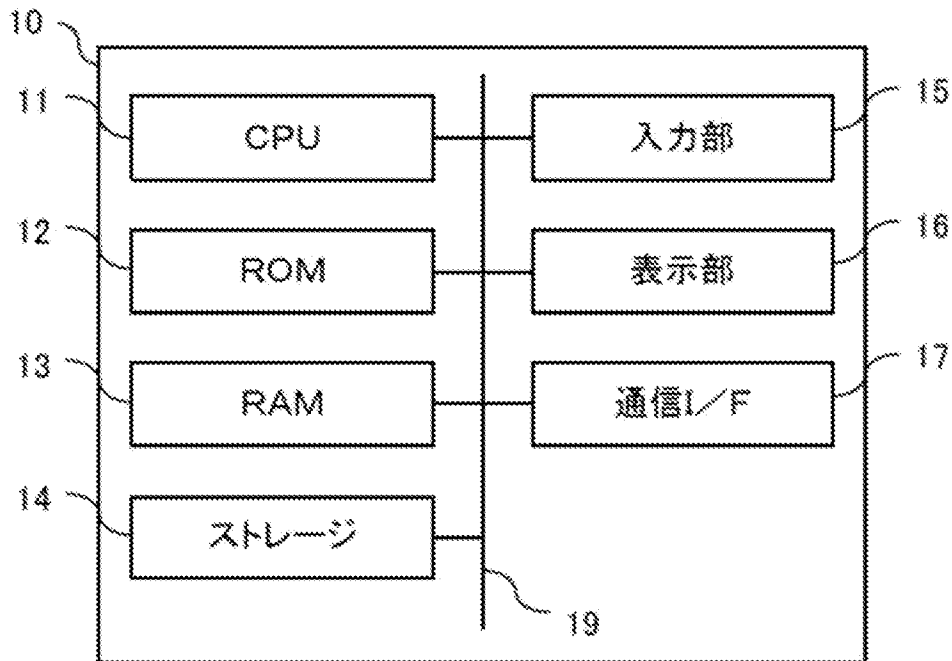
## 請求の範囲

- [請求項1] 時系列のイベントデータである複数のイベント系列と、前記複数のイベント系列の各々の各イベントデータについての異常又は正常を示すラベルとに基づいて、前記時系列の各時刻におけるイベントの発生確率と前記複数のイベント系列の各々の異常度との関係を表す目的関数を最適化するように、異常度を予測する対象となるイベント系列である対象イベント系列を入力した場合に、前記対象イベント系列の異常度を出力するモデルのパラメータを学習する学習部を含む異常検知装置。
- [請求項2] 前記発生確率は、点過程の強度関数で表され、  
前記目的関数は、前記複数のイベント系列の各々についての前記点過程の尤度を用いて表される線形回帰モデルで表され、  
前記学習部は、前記目的関数の値が最大となるように、前記モデルのパラメータを学習する  
請求項1記載の異常検知装置。
- [請求項3] 前記対象イベント系列の入力を受け付ける検索部と、  
前記対象イベント系列と、前記モデルと、前記学習部により学習されたパラメータとに基づいて、前記対象イベント系列の異常度を算出する予測部と、  
を更に含む請求項1又は請求項2記載の異常検知装置。
- [請求項4] 学習部が、時系列のイベントデータである複数のイベント系列と、前記複数のイベント系列の各々の各イベントデータについての異常又は正常を示すラベルとに基づいて、前記時系列の各時刻におけるイベントの発生確率と前記複数のイベント系列の各々の異常度との関係を表す目的関数を最適化するように、異常度を予測する対象となるイベント系列である対象イベント系列を入力した場合に、前記対象イベント系列の異常度を出力するモデルのパラメータを学習する  
異常検知方法。

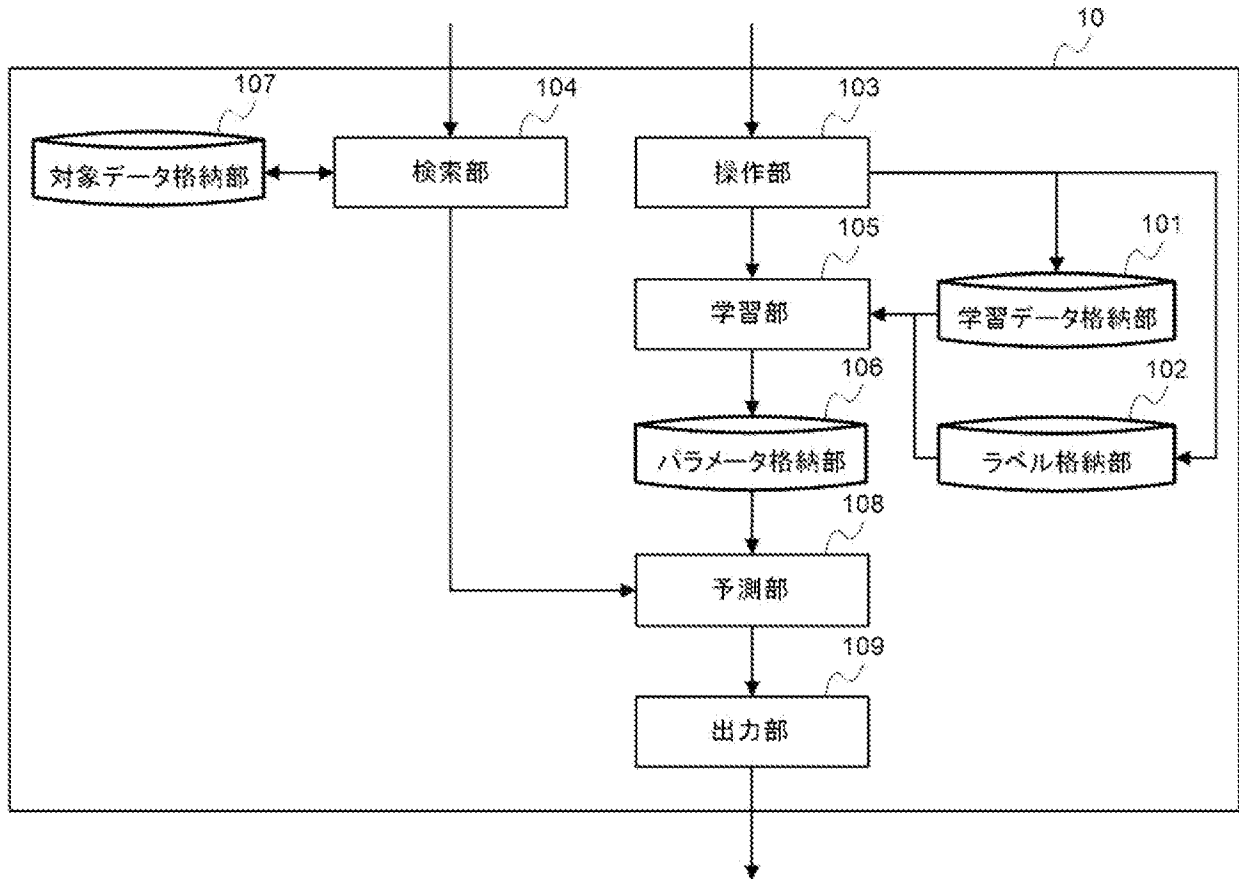


- [請求項5]            学習部が、時系列のイベントデータである複数のイベント系列と、前記複数のイベント系列の各々の各イベントデータについての異常又は正常を示すラベルとに基づいて、前記時系列の各時刻におけるイベントの発生確率と前記複数のイベント系列の各々の異常度との関係を表す目的関数を最適化するように、異常度を予測する対象となるイベント系列である対象イベント系列を入力した場合に、前記対象イベント系列の異常度を出力するモデルのパラメータを学習することを含む処理をコンピュータに実行させるための異常検知プログラム。

[図1]



[図2]



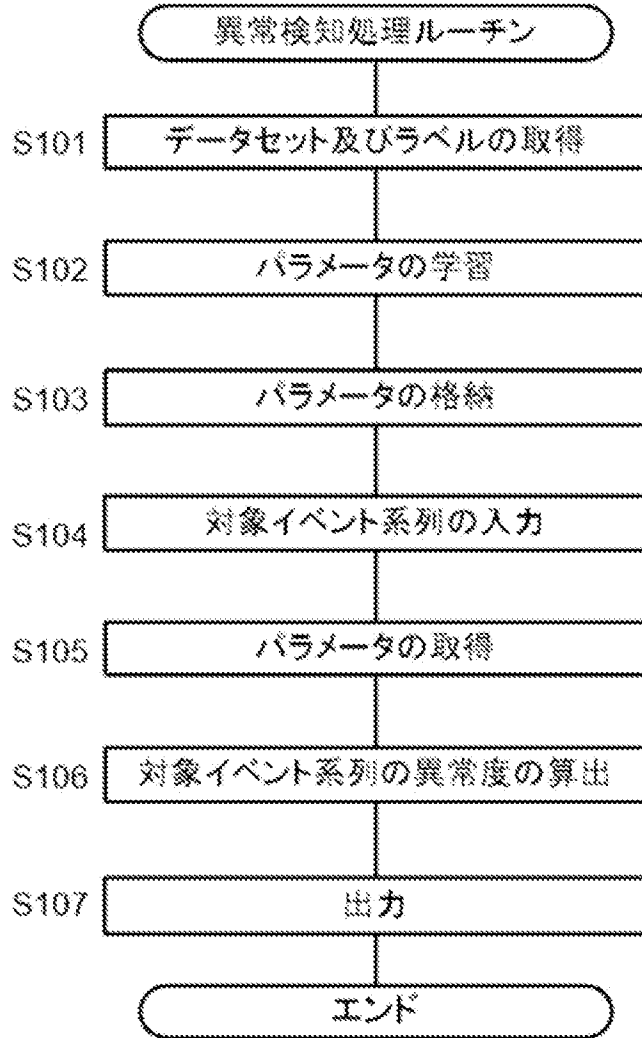
[図3]

検索対象のエリア	検索対象の日	検索対象の時間	検索ログ
A駅	2018/1/2	10:00	1,3,3,10,12,...
B駅	2018/1/4	12:00	5,10,10,12,...
⋮		⋮	⋮
C駅	2018/12/30	21:00	1,1,2,3,5,...

[図4]

検索対象のエリア	検索対象の日	検索対象の時間	異常(混雑)
A駅	2018/1/2	10:00	1(混雑あり)
B駅	2018/1/4	12:00	0(混雑なし)
⋮		⋮	⋮
C駅	2018/12/30	21:00	0(混雑なし)

[図5]



**INTERNATIONAL SEARCH REPORT**

International application No.

PCT/JP2019/023151

**A. CLASSIFICATION OF SUBJECT MATTER**  
 Int.Cl. G06N20/00 (2019.01) i

According to International Patent Classification (IPC) or to both national classification and IPC

**B. FIELDS SEARCHED**

Minimum documentation searched (classification system followed by classification symbols)  
 Int.Cl. G06N20/00

Documentation searched other than minimum documentation to the extent that such documents are included in the fields searched

Published examined utility model applications of Japan	1922-1996
Published unexamined utility model applications of Japan	1971-2019
Registered utility model specifications of Japan	1996-2019
Published registered utility model applications of Japan	1994-2019

Electronic data base consulted during the international search (name of data base and, where practicable, search terms used)

**C. DOCUMENTS CONSIDERED TO BE RELEVANT**

Category*	Citation of document, with indication, where appropriate, of the relevant passages	Relevant to claim No.
A	JP 2018-139085 A (NTT COMMUNICATIONS CORPORATION) 06 September 2018, paragraphs [0016], [0047]-[0053], fig. 4-5 (Family: none)	1-5
A	JP 2016-62544 A (INTERNATIONAL BUSINESS MACHINES CORPORATION) 25 April 2016, paragraphs [0014]-[0015], [0033]-[0035], fig. 2 & US 2016/0196505 A1, paragraphs [0023]-[0024], [0042]-[0044], fig. 2	1-5

Further documents are listed in the continuation of Box C.  See patent family annex.

* Special categories of cited documents:	"I" later document published after the international filing date or priority date and not in conflict with the application but cited to understand the principle or theory underlying the invention
"A" document defining the general state of the art which is not considered to be of particular relevance	"X" document of particular relevance; the claimed invention cannot be considered novel or cannot be considered to involve an inventive step when the document is taken alone
"E" earlier application or patent but published on or after the international filing date	"Y" document of particular relevance; the claimed invention cannot be considered to involve an inventive step when the document is combined with one or more other such documents, such combination being obvious to a person skilled in the art
"L" document which may throw doubts on priority claim(s) or which is cited to establish the publication date of another citation or other special reason (as specified)	"&" document member of the same patent family
"O" document referring to an oral disclosure, use, exhibition or other means	
"P" document published prior to the international filing date but later than the priority date claimed	

Date of the actual completion of the international search 07 August 2019 (07.08.2019)	Date of mailing of the international search report 20 August 2019 (20.08.2019)
--	---

Name and mailing address of the ISA/ Japan Patent Office 3-4-3, Kasumigaseki, Chiyoda-ku, Tokyo 100-8915, Japan	Authorized officer  Telephone No.
--	---

A. 発明の属する分野の分類（国際特許分類（IPC）） Int.Cl. G06N20/00(2019.01)i		
B. 調査を行った分野 調査を行った最小限資料（国際特許分類（IPC）） Int.Cl. G06N20/00		
最小限資料以外の資料で調査を行った分野に含まれるもの 日本国実用新案公報 1922-1996年 日本国公開実用新案公報 1971-2019年 日本国実用新案登録公報 1996-2019年 日本国登録実用新案公報 1994-2019年		
国際調査で使用した電子データベース（データベースの名称、調査に使用した用語）		
C. 関連すると認められる文献		
引用文献の カテゴリー*	引用文献名 及び一部の箇所が関連するときは、その関連する箇所の表示	関連する 請求項の番号
A	JP 2018-139085 A（エヌ・ティ・ティ・コミュニケーションズ株式会社）2018.09.06, 段落[0016], [0047]-[0053]及び[図4]-[図5]（ファミリーなし）	1-5
A	JP 2016-62544 A（インターナショナル・ビジネス・マシーンズ・コーポレーション）2016.04.25, 段落[0014]-[0015], [0033]-[0035]及び[図2] & US 2016/0196505 A1, 段落[0023]-[0024], [0042]-[0044] 及び[図2]	1-5
☐ C欄の続きにも文献が列挙されている。 <span style="margin-left: 200px;">☐ パテントファミリーに関する別紙を参照。</span>		
* 引用文献のカテゴリー 「A」特に関連のある文献ではなく、一般的技術水準を示すもの 「E」国際出願日前の出願または特許であるが、国際出願日以後に公表されたもの 「L」優先権主張に疑義を提起する文献又は他の文献の発行日若しくは他の特別な理由を確立するために引用する文献（理由を付す） 「O」口頭による開示、使用、展示等に言及する文献 「P」国際出願日前で、かつ優先権の主張の基礎となる出願日の後に公表された文献 「T」国際出願日又は優先日後に公表された文献であって出願と矛盾するものではなく、発明の原理又は理論の理解のために引用するもの 「X」特に関連のある文献であって、当該文献のみで発明の新規性又は進歩性がないと考えられるもの 「Y」特に関連のある文献であって、当該文献と他の1以上の文献との、当業者にとって自明である組合せによって進歩性がないと考えられるもの 「&」同一パテントファミリー文献		
国際調査を完了した日 07.08.2019	国際調査報告の発送日 20.08.2019	
国際調査機関の名称及びあて先 日本国特許庁（ISA/J P） 郵便番号100-8915 東京都千代田区霞が関三丁目4番3号	特許庁審査官（権限のある職員） 多賀 実 電話番号 03-3581-1101 内線 3545	5B   1599